

斜組ぐい鋼管橋脚を有する道路橋の振動性状について

神戸大学 正員 畑中元弘

まえがき

荒大橋は兵庫県丹山川河口に架設された橋長328m, 幅員6m, 9連の単純げたよりな鋼橋で、左岸のオスパンは長さ14mの可動橋であり、下部構造には斜組ぐい鋼管が用いられている。このような下部構造をもつた橋梁はいまだ建設の歴史が浅く、その耐震性については不明の点が多いため、本橋について一連の静的および動的試験を実施し、主として下部構造の安全性や設計方法を検討することとした。なお試験計画がなされた時期にはすでに下部構造はほぼ完成しており、したがって測定の対象としたのは水面以上の部分のみである。オ1次試験では P_1, P_2, P_3 橋脚を対象として静的載荷試験と、 P_3 橋脚について起振機試験および引張(自由振動)試験を実施し、橋脚の水平抵抗, 固有周期, 減衰係数などを調べた。¹⁾オ2次試験では、 P_3 橋脚について行ったオ1次起振機試験の加振力が小さかったので(共振振幅約0.3mm), 大型起振機を用いた数段の荷重段階で大振幅(最大振幅約3mm)の試験を実施した。^{2), 3)}オ1次およびオ2次試験はいずれも上部構造架設前の橋脚のみに関するものであるが、本年7月に上部構造が架設されたので今回、橋梁全体としての振動を調べるためにオ3次試験として起振機試験および試験車による走行試験を行った。なお今回の試験では可動橋についてかなり詳細に測定したが、本文では橋脚の振動性状に関する主な事項と橋梁全体としての振動の概要を報告するにとどめる。

1. 橋脚の水平抵抗^{1), 3)}

オ1次試験の水平載荷試験は P_3 橋脚の両側にそれぞれ50tの油圧ジャッキを設置し、両スパンの押はりにより P_2, P_3 橋脚を支点として50tまでの片側載荷, および30tまでの交番載荷を行ったが、各橋脚の荷重-変位曲線は軟弱地盤にもかかわらず、ヒステリシスも少なくかなり弾性的性質を示し、橋軸方向の見掛けのバネ係数は $P_2 \sim P_3$ 橋脚でそれぞれ80%, 82%, 102%であった。設計計算は、くり頭固定のChang方式の単純直ぐいをもととし、図-1のようにこの2本を組合せたA型の組ぐいと1本(A, C)あるいは2本(B)の直ぐいとよりな3群ぐいにより、全水平荷重をA, B, Cの群ぐいの剛性に応じて分担するものとして行われた。くり頭変位の計算に設計の際用いた諸元はくりの全長 $L=54m$, $\phi 609mm$, 厚さ $t=9mm$, 河床上部の高さ $h=10m$, 地盤係数 $k=1.0 \text{ kg/cm}^2$ であり、水平地震荷重 $7/t$ に対しくり頭の水平変位および見掛けのバネ係数は橋軸およびこれと直角方向でそれぞれ26mm, 27%および34mm, 21%で、橋軸方向の値は実測値の約3倍であった。しかしながら実際にはくりの厚さはくり頭より14mまでは $t=14mm$, それ以下12mmであり、河床下12~13mまでは鋼管ぐい内にコンクリートが充填されており、また $h=8.0m$ (橋脚天端まで8.8m)である。さらにくり頭の拘束条件は固定ではなく固定端と同軸端の間である。このためまずくりの中のコンクリートや管厚の変化によるくりの剛性変化を考慮し、これ

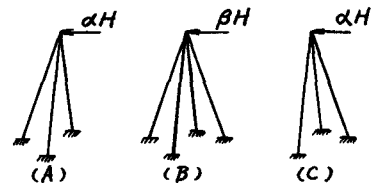


図-1 橋脚組ぐいの水平力の分担説明図(橋軸方向)

と等価な一様剛性を有する単ぐりの剛性を求め、この単ぐり基準として設計計算と同様にして、頭の変位を計算すれば図-2 のようである。同図によれば橋軸方向の水平変位は、頭を固定端とした場合よりも回転端とした場合の方が実測値に近い値を与え、河床よりの橋脚の高さは8.8m であるが、河床部が軟弱であることを考慮すれば計算に用いべき河床上のくり長はこれよりも長くともことが適当と考えられ、このことを考慮すれば上記の方法は実測結果とさきわめてよく一致するといえることのできよう。なお橋軸直角方向の変位については、橋軸方向に比べて頭の拘束条件はほぼ固定端に近いものと考えられるので、この場合の値のみしか示してなく、実測値がないので比較はできないうが、かなりよく実状を表わしているものと思われる。図-3 は河床上のくり長が8.0m の場合につき、水平方向の地盤係数の変化により橋脚天端の橋軸方向の水平変位がどのように変化するのを示したもので、地盤係数の橋脚変位におよぼす影響は非常に小さく、本橋脚のように斜組ぐり構造ではラーメン作用の著しいことがわかる。なお設計計算は中空ぐりについて行われていさうが、くり中にコンクリート充填すればかなり水平耐力が増加し、本例では河床下7~8m 程度までの充填ではほぼ無限長のくりの効果と期待できることが判明した。

2. 橋脚の振動性状³⁾

図-4 は起振機試験の各加振力段階における共振時の加振力と共振振幅との関係を示したもので、最大共振振幅はおよそ6mm までの振動に対しては起振力と振幅とは直線関係にあり、この範囲では本橋脚は弾性振動として取扱ってよいことが知られる。なおこの起振機試験における橋脚天端の最大加速度は橋軸方向およびこれと直角方向でそれぞれ240gal および180gal で、設計震度0.26 であるので、載荷試験は設計地震力の1/2~2/3 程度であるが、加速度は設計値とほぼ同程度と示している。P₃~P₅ 橋脚は同一構造であるのでP₃ 橋脚を代表とし、橋脚を最も簡単な質点系モデルにおきかえて実測値を最もよく説明できるように諸元を求めれば図-4 中に示したように、橋軸方向の振動についてはW=105t、R=0.14 と示す。なおW=105t は橋脚頭部のコンクリート部、くりおよびくり中のコンクリート、防護板の重量などの換算重量、またくりの側壁と木の抵抗などの総重量107t とよく一致した値であり、固有周期T=0.232 sec、減衰率R=0.14 は引張試験および起振機試験の平均的値である。しかしながら橋軸直角方向については、実測値と一致するためにはW=138t であることが必要で、橋軸方向のモデルで十分説明できず橋脚の回転慣性とともに入らに検討を要する点である。

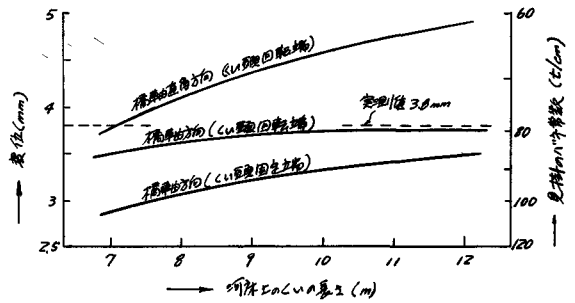


図-2 橋脚頭部の計算変位 (材料強度 H=30t)

なお橋軸直角方向の変位については、橋軸方向に比べて頭の拘束条件はほぼ固定端に近いものと考えられるので、この場合の値のみしか示してなく、実測値がないので比較はできないうが、かなりよく実状を表わしているものと思われる。図-3 は河床上のくり長が8.0m の場合につき、水平方向の地盤係数の変化により橋脚天端の橋軸方向の水平変位がどのように変化するのを示したもので、地盤係数の橋脚変位におよぼす影響は非常に小さく、本橋脚のように斜組ぐり構造ではラーメン作用の著しいことがわかる。

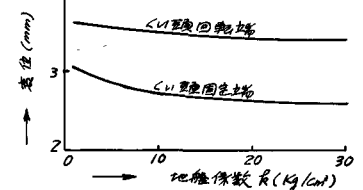


図-3 地盤係数と橋脚頭部の計算変位との関係 (水平荷重 H=30t、くり長 8m)

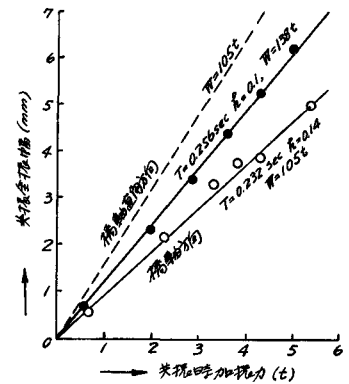


図-4 橋脚天端の共振振幅 (P₃ 橋脚)

なおこの起振機試験における橋脚天端の最大加速度は橋軸方向およびこれと直角方向でそれぞれ240gal および180gal で、設計震度0.26 であるので、載荷試験は設計地震力の1/2~2/3 程度であるが、加速度は設計値とほぼ同程度と示している。P₃~P₅ 橋脚は同一構造であるのでP₃ 橋脚を代表とし、橋脚を最も簡単な質点系モデルにおきかえて実測値を最もよく説明できるように諸元を求めれば図-4 中に示したように、橋軸方向の振動についてはW=105t、R=0.14 と示す。なおW=105t は橋脚頭部のコンクリート部、くりおよびくり中のコンクリート、防護板の重量などの換算重量、またくりの側壁と木の抵抗などの総重量107t とよく一致した値であり、固有周期T=0.232 sec、減衰率R=0.14 は引張試験および起振機試験の平均的値である。しかしながら橋軸直角方向については、実測値と一致するためにはW=138t であることが必要で、橋軸方向のモデルで十分説明できず橋脚の回転慣性とともに入らに検討を要する点である。

3. 橋梁の振動性状

図-5~7にそれぞれ P_3 , P_1 , A_1 上の橋床面に加重した場合の加振点付近の共振曲線を示す。またこの場合の橋梁全体としての mode の一例は図-8のようで、1次の共振周期は加振場所によつてこととなり、橋軸方向振動では A_1 , P_1 で0.39~0.40 sec であり、 P_3 では0.37 sec とかなり短かく、橋軸直角方向では P_1 で0.52 sec, P_3 で0.41 sec と大きな開きがある。このような現象は微小振動である図-8から橋全体が一緒に振動して見えるように見え、やはり P_1 , P_3 橋脚の剛性の相違や上部構の構造および載荷重の影響が強く表われていたためであろう。いま試みに P_3 橋脚につき橋脚に一分の重量が附加された場合の固有周期を計算すれば橋軸およびこれと直角方向でそれぞれ0.39 sec および0.44 sec となり実測値0.37 sec および0.41 sec に比べてやや長い値となる。橋全体としての減衰常数は0.03~0.04 および0.02~0.03程度で、減衰力を橋脚のみとすると同一であるとすれば、橋全体としての減衰常数の計算値は実測値の約2~3倍程度の値となる。また橋脚-基分のモデルについて

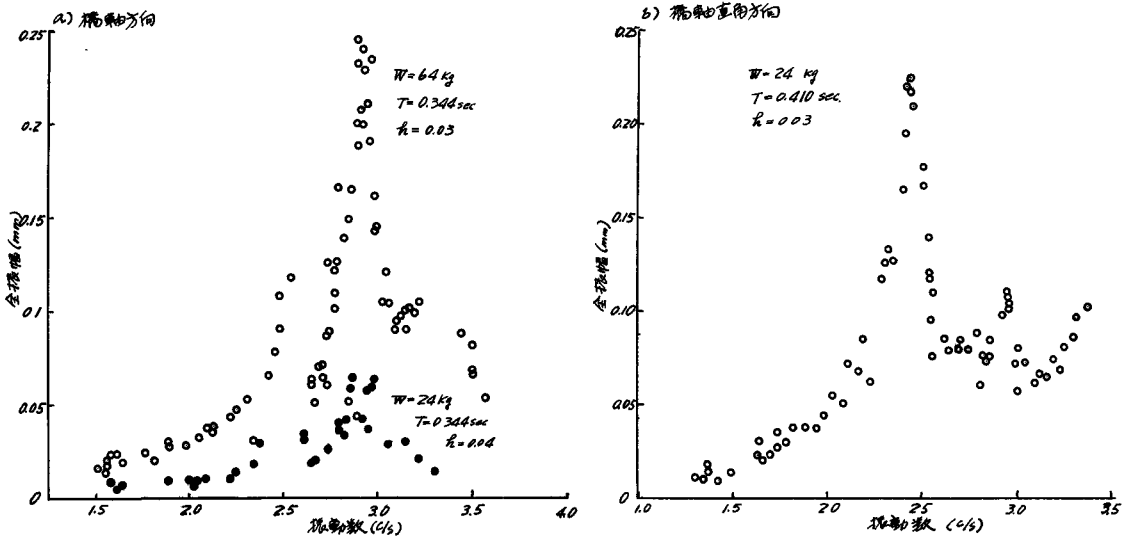


図-5 P_3 橋脚部の共振曲線

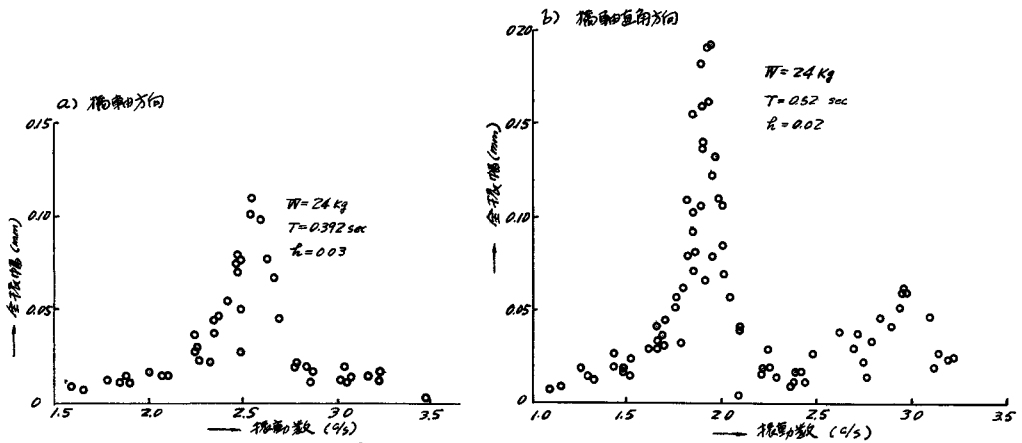


図-6 P_1 橋脚部の共振曲線

の計算共振振幅は実測値よりも1桁近く大きき値となり、橋全体として考之なければ説明できないものである。なお詳細については可動橋部の振動などとともに次の機会にゆずることとした。

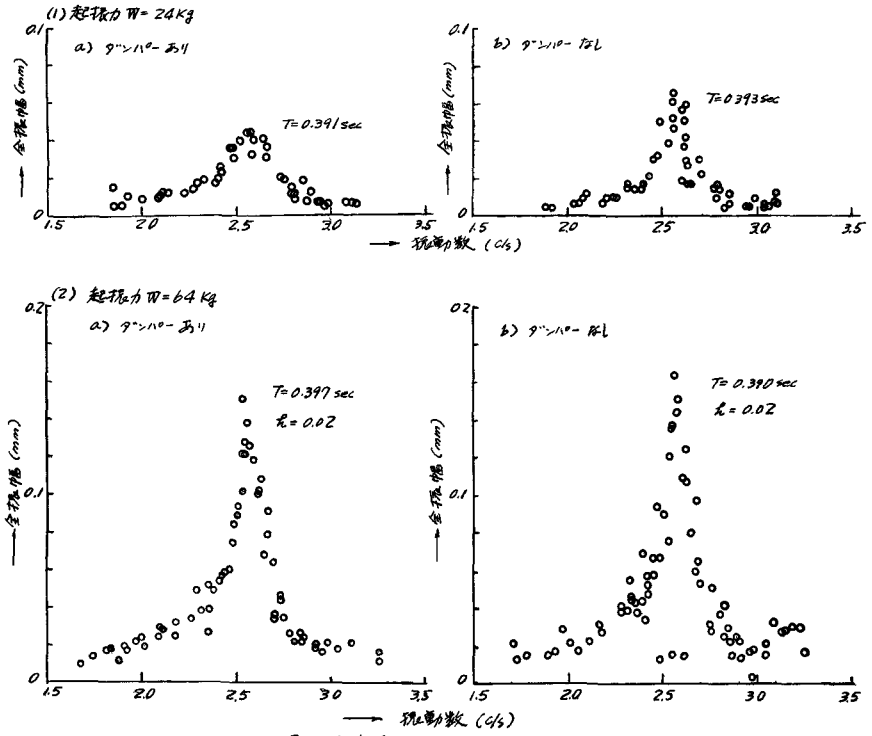


図-7 左岸橋台A、橋軸方向の共振曲線

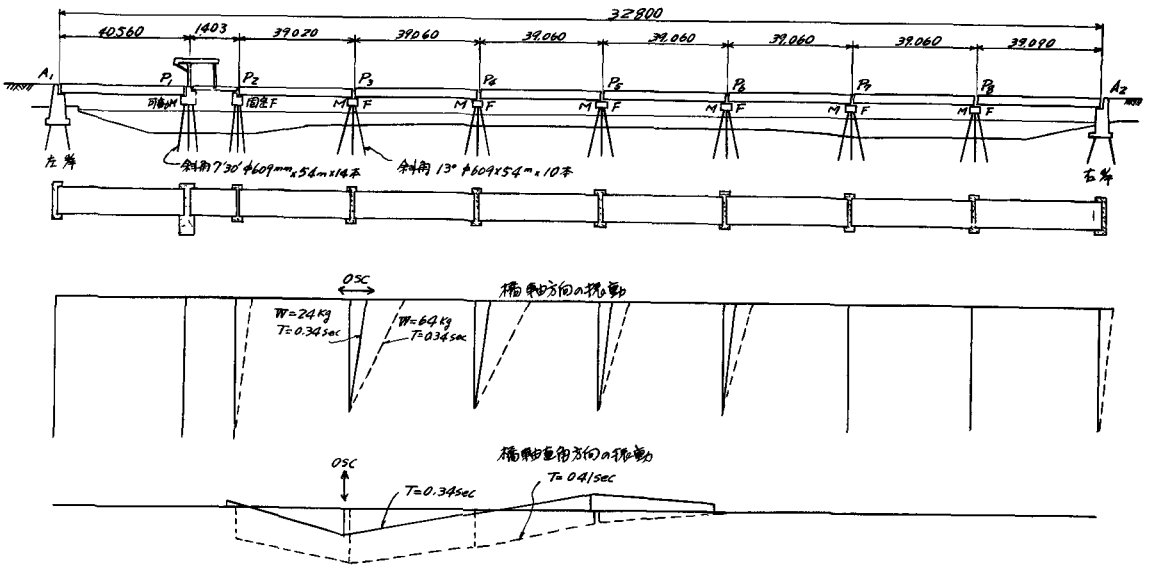


図-8 共振時の現象の一例

- 1) 畑中元弘：鋼管組む橋脚の振動実験(才1報)，建設工学研究所報告 No.9, 昭41.5.
- 2) 畑中元弘，小笠原弘：鋼管橋脚の振動実験(その2)，土木学会関西支部講演概要，昭41.11.
- 3) 畑中元弘：鋼管組む橋脚の振動実験(才2報)，建設工学研究所報告 No.10, (印刷中)